# 长春花中生物碱类化学成分研究

覃锋1,2, 王凡凡2#, 吴积文2, 李嘉欣2, 姜月霞3\*, 王恒山1\*

- 1. 广西师范大学化学与药学学院 药用资源化学与药物分子工程教育部重点实验室, 广西 桂林 541004
- 2. 玉林师范学院化学与食品科学学院 广西农产资源化学与生物技术重点实验室, 广西 玉林 537700
- 3. 海南医科大学药学院,海南 海口 571199

摘 要:目的 研究长春花 Catharanthus roseus 全草的化学成分及其抗肿瘤活性。方法 运用硅胶柱色谱、ODS 柱色谱及 HPLC 等手段分离纯化化合物,并通过 NMR 和 HR-ESI-MS 等谱学技术进行结构鉴定;同时利用 CCK-8 法评估其体外抗肿瘤活性。结果 从长春花 95%乙醇提取物中得到 6 个生物碱,分别鉴定为长春花碱 A(1a)、2,3,3a,5-四氢-1H-苯并[d]吡咯并[2,1-b][1,3]恶嗪-1-酮(1b)、β-咔啉-1-羧酸(2)、1-乙酰基-β-咔啉(3)、β-咔啉生物碱(4)、2-(2-甲基-3-烯-2-基)-1H-吲哚-3-甲醛(5)。结论 化合物 1 为 1 对对映异构体,其中化合物 1a 为新化合物,命名为长春花碱 A;化合物 1b、2~5 均为首次从该长春花属中分离得到。生物碱 1b 对 T24 细胞表现出一定抑制活性。

**关键词**: 长春花; 长春花属; 生物碱; 对映异构体; 抗肿瘤; 长春花碱 A; 2,3,3a,5-四氢-1*H*-苯并[d]吡咯并[2,1-b][1,3]恶嗪-1-酮; 1-乙酰基-β-咔啉

中图分类号: R284.1 文献标志码: A 文章编号: 0253 - 2670(2025)22 - 8077 - 05

**DOI:** 10.7501/j.issn.0253-2670.2025.22.002

## Study on alkaloids from Catharanthus roseus

QIN Feng<sup>1, 2</sup>, WANG Fanfan<sup>2</sup>, WU Jiwen<sup>2</sup>, LI Jiaxin<sup>2</sup>, JIANG Yuexia<sup>3</sup>, WANG Hengshan<sup>1</sup>

- Key Laboratory for Chemistry and Molecular Engineering of Medicinal Resources (Ministry of Education of China), College of Chemistry and Pharmaceutical Sciences, Guangxi Normal University, Guilin 541004, China
- Guangxi Key Laboratory of Agricultural Resources Chemistry and Biotechnology, College of Chemistry and Food Science, Yulin Normal University, Guilin 537000, China
- 3. College of Pharmacy, Hainan Medical University, Haikou 571199, China

Abstract: Objective To investigate the chemical constituents of the whole herb of *Catharanthus roseus* (L.) G. Don and evaluate their antitumor activities. **Methods** The compounds were isolated and purified by silica gel column chromatography, ODS column chromatography, and HPLC, and their structures were elucidated by NMR and HR-ESI-MS spectroscopic techniques. The antitumor activities were assessed in *vitro* using the CCK-8 assay. **Results** Six alkaloids were obtained from the 95% ethanol extract of *C. roseus* and identified as catharosine A (1a), 2,3,3a,5-tetrahydro-1*H*-benzo[*d*]pyrrolo[2,1-*b*][1,3]oxazin-1-one (1b), β-carboline-1-carboxylic acid (2), 1-acetyl-β-carboline (3), β-carboline alkaloid (4), 2-(2-methyl-3-en-2-yl)-1*H*-indole-3-carbaldehyde (5). **Conclusion** Compound 1 was determined to be a pair of enantiomers, of which 1a was a new compound and named Catharosine A, while compounds 1b, 2-5 were isolated from the genus *Catharanthus* for the first time. Moreover, compound 1b exhibited certain inhibitory activity against T24 cells.

**Key words:** *Catharanthus roseus* (L.) G. Don; *Catharanthus*; alkaloids; enantiomers; antitumor activity; catharosine A; 2,3,3a,5-tetrahydro-1*H*-benzo[*d*]pyrrolo[2,1-*b*][1,3]oxazin-1-one; 1-acetyl-β-carboline

收稿日期: 2025-09-01

**基金项目**:广西自然科学基金项目(2024GXNSFBA010005, 2025GXNSFDA069055); 国家自然科学基金项目(22467005); 广西青年科技人 才工程资助(2025YESSGX201); 广西第一批青苗人才项目(2025QMZK03)

作者简介: 覃 锋 (1993—), 男, 博士, 研究方向为天然药物化学。E-mail: qinfl114@163.com

<sup>#</sup>共同第一作者: 王凡凡 (1995—), 女, 硕士, 研究方向为天然药物化学。E-mail: fanfanwang2020@163.com

<sup>\*</sup>通信作者: 王恒山, 男, 博士。E-mail: whengshan@163.com

姜月霞,女,实验师。E-mail: yangjiangyx@126.com

长春花 Catharanthus roseus (L.) G. Don 为夹竹桃科(Apocynaceae)长春花属植物,民间俗称日日草、四时花,原产非洲东海岸,现广泛栽培于热带、亚热带地区,在我国华东、中南及西南均有分布[1-2]。其性寒、味苦,具解毒抗癌、降血压、降血糖及镇静安神等功效,民间常用于糖尿病、高血压、腹泻及肿瘤等疾病治疗[3]。现代植物化学与药理学研究表明,长春花化学成分复杂,其中单萜吲哚和双吲哚生物碱最具代表性,如长春新碱和长春碱可抑制微管蛋白聚合,阻断有丝分裂,临床广泛用于抗肿瘤治疗[4]。此外,其生物碱还表现出抗炎、调血脂、降血糖及神经保护等多种药理活性[5]。

基于其成分多样性和显著药用价值, 本研究对 长春花全草进行系统分离纯化,采用硅胶、ODS (C<sub>18</sub>)及制备型 HPLC 等分离技术,结合 NMR、MS 等波谱手段,分离获得6个化合物(图1),分别鉴 定为长春花碱 A (catharosine A, 1a)、2,3,3a,5-四 氢-1H-苯并[d]吡咯并[2,1-b][1,3]恶嗪-1-酮(2,3,3a,5tetrahydro-1*H*-benzo[*d*]pyrrolo[2,1-*b*][1,3] oxazin-1one, **1b**)、β-咔啉-1-羧酸 (β-carboline-1-carboxylic acid, **2**)、1-乙酰基-β-咔啉(1-acetyl-β-carboline, **3**)、β-咔啉生物碱(β-carboline alkaloid, **4**)、2-(2-甲基-3-烯-2-基)-1H-吲哚-3-甲醛 [2-(2-methyl-3-en-2-yl)-1*H*-indole-3-carbaldehyde, **5**]。化合物 **1** 为 1 对 对映异构体, 其中, 化合物 1a 为新化合物, 命名为 长春花碱 A, 化合物 1b、2~5 均为首次从该长春 花属中分离得到。活性测试结果表明, 化合物 1b 具 有一定的抗肿瘤活性。

## 1 仪器与材料

Bruker AVANCE NEO-600 NMR 核磁共振波谱

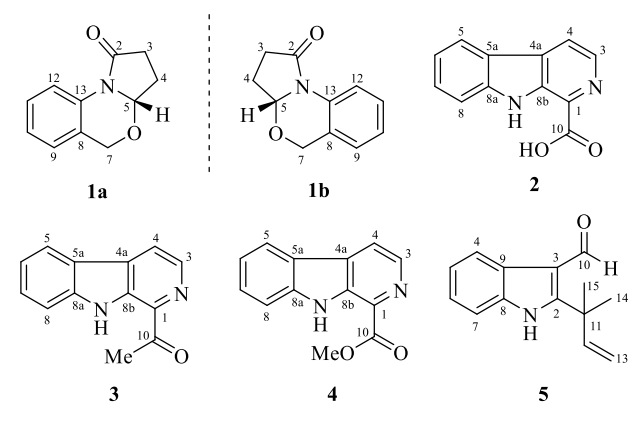


图 1 化合物 1a/1b~5 的结构

Fig. 1 Chemical structures of compounds 1a/1b-5

仪(德国 Bruker 公司); HR-ESI-MS 质谱仪(Agilent 6545 Q-TOF LC-MS); Shimadzu LC-20AT 半制备型 HPLC (日本岛津公司); 分析型 HPLC-ECD (日本 JASCO 公司); JASCO P-1500 型圆二色谱仪(日本 JASCO 公司); JASCO P-2000 型旋光光谱仪(日本 JASCO 公司); Spectrum Two 红外光谱仪(珀金埃尔默公司); PerkinElmer 650 型紫外光谱仪(珀金埃尔默公司); Thermo 多功能酶标仪(Thermo 公司)。

YMC ODS-A 制备型色谱柱 (250 mm×10 mm, 5 μm); YMC ODS-A 分析型色谱柱 (150 mm×4.6 mm, 5 μm); YMC-Amylose-C Neo column 手性色谱柱 (250 mm×4.6 mm, 5 μm); 柱色谱硅胶 (100~200、200~300 目,青岛海洋化工厂); ODS 柱色谱填料 (60~80 μm, 日本 YMC 公司); 二氯甲烷、石油醚、乙醇、甲醇、醋酸乙酯等 (分析纯,色谱级,西陇科学股份有限公司); DMEM 培养基和特级胎牛血清 (fetal bovine serum, FBS,美国Gibco公司); CCK-8 试剂盒 (上海酶联生物科技有限公司)。人结肠癌 HCT116 细胞、人结肠腺癌SW480 细胞、人肝癌 HepG2 细胞、人膀胱癌 T24细胞、乳腺癌 MCF7 细胞、人宫颈鳞癌 SiHa 细胞和人非小细胞肺癌 A549 细胞均购自中国科学院上海细胞库。

长春花于 2020 年 6 月采自中国海南海口,由广西师范大学唐绍清教授鉴为长春花 *C. roseus* (L.) G. Don。植物凭证样本(ID-20200621)存放于广西师范大学药用资源化学与分子工程国家重点实验室。

#### 2 方法

## 2.1 提取与分离

长春花干燥的全草  $(25.0 \,\mathrm{kg})$  以 95% 乙醇回流提取 4 次  $(100 \,\mathrm{L} \times 3 \,\mathrm{h})$ ,合并提取液减压浓缩得粗提物  $(2.1 \,\mathrm{kg})$ 。粗提物溶于 3%酒石酸水溶液,调  $\mathrm{pH} \, 2 \sim 3$ ,以醋酸乙酯萃取 4 次,分得醋酸乙酯层和水层。水层经  $\mathrm{Na_2CO_3}$  调  $\mathrm{pH} \, 9 \sim 10$ ,再以二氯甲烷萃取,得二氯甲烷部分  $(734 \,\mathrm{g})$ 。该部分经硅胶柱色谱梯度洗脱,获得 8 个组分  $(\mathrm{A} \sim \mathrm{H})$ 。组分  $\mathrm{B} \, (7.2 \,\mathrm{g})$  经  $\mathrm{ODS}$  柱梯度洗脱( $20\% \sim 100\%$  甲醇),得 8 个亚组分  $(\mathrm{B1} \sim \mathrm{B8})$ 。 $\mathrm{B2}(350.0 \,\mathrm{mg})$  经  $\mathrm{Sephadex}$   $\mathrm{LH} - 20$  凝胶柱色谱分离为 7 个亚组分  $(\mathrm{B2a} \sim \mathrm{B2h})$ ,将  $\mathrm{B2d} \, (67.8 \,\mathrm{mg})$  经  $\mathrm{HPLC} \, (\mathrm{PPE} - \mathrm{M} \, 55 \div 45, \, 7$  mL/min)纯化,得到化合物  $\mathrm{5} \, (t_{\mathrm{R}} = 38.0 \,\mathrm{min}, \, 6.1 \,\mathrm{mg})$  和  $\mathrm{3} \, (t_{\mathrm{R}} = 56.0 \,\mathrm{min}, \, 4.3 \,\mathrm{mg})$ 。通过半制备  $\mathrm{HPLC} \, (\mathrm{PPE} - \mathrm{M} \, 50 \div 50, \, 7 \,\mathrm{mL/min})$  对组分  $\mathrm{B2h} \, (67.8 \,\mathrm{mg})$ 

进行分离,得到化合物  $\mathbf{1}$  ( $t_R$ =39.0 min, 5.6 mg)、  $\mathbf{4}$  ( $t_R$ =54.0 min, 3.4 mg) 和  $\mathbf{2}$  ( $t_R$ =31.0 min, 3.5 mg)。

## 2.2 细胞毒活性测试

各细胞以  $1.2 \times 10^5$  个/孔的密度接种于 96 孔板,使用含 10%FBS、1%双抗的 DMEM 或 RPMI 1640 培养基,在 37 °C、5% CO<sub>2</sub>条件下培养至约 65%融合度。随后分别加入不同浓度(0、2.5、5、 $10、20、40 \mu mol/L)的化合物或依托泊苷处理,孵育 <math>48$  h。每孔再加入 10  $\mu$ L MTT 溶液,继续孵育 46 h 后弃去培养基,加入 100  $\mu$ L DMSO 振荡 10 min 使结晶溶解。于 570 nm 检测吸光度(A)值,以 630 nm 为参比波长,测定各孔 A 值。按公式计算细胞抑制率,采用 GraphPad Prism 9 计算半数抑制浓度(median inhibition concentration,IC<sub>50</sub>)值,实验均重复 3 次并取平均值。

抑制率=1-A 科品/A 对照

#### 3 结果

#### 3.1 结构鉴定

化合物 1: 白色粉末,通过结合 HR-ESI-MS 的 正离子准分子离子峰 m/z 190.086 4 [M+H]+ (calcd 190.086 3 for C<sub>11</sub>H<sub>12</sub>NO<sub>2</sub>) 和 <sup>13</sup>C-NMR 数据(表 1) 确定其分子式为  $C_{11}H_{11}NO_2$ 。 UV  $\lambda_{max}^{MeOH}$  (nm): 252.4, 283.9。 IR  $v_{\text{max}}^{\text{KBr}}$  (cm<sup>-1</sup>): 1 732, 1 609, 1 248, 1 203, 1 116; 表明化合物 1 中存在苯环、羰基。通过分析化合物 1的 H-NMR 和 HSQC 数据发现其拥有 4 个芳香质 子信号 [ $\delta_{\rm H}$ 8.22 (1H, d, J = 8.2 Hz), 7.26 (1H, m), 7.13 (2H, overlapped)], 3 个亚甲基质子信号 [ $\delta_{\rm H}$ 5.07 (1H, d, J = 15.2 Hz), 4.92 (1H, d, J = 15.2 Hz), 2.62 (2H, m), 2.53 (1H, m), 2.01 (1H, m)] 和 1 个次甲基 [δ<sub>H</sub> 5.36 (1H, dd, J=6.7, 5.4 Hz)]。通过 <sup>13</sup>C-NMR 结合 HSQC 分析提示化合物 1 共有 11 个碳信号,包括 1 个羰 基信号( $\delta_{\rm C}$  174.4)、6 个芳香碳、3 个亚甲基碳 ( $\delta_{\rm C}$ 69.0, 30.9, 25.7)、1 个次甲基 ( $\delta_{\rm C} 89.0$ )。上述数据表 明化合物 1 与 bulgarixine B 的核磁数据十分类似[6], 它们主要的区别在于化合物 1 缺少 1 个羰基信号。 在 <sup>1</sup>H-<sup>1</sup>H COSY 谱图 (图 2) 中可以观察到 H-3/H-4、H-4/H-5的相关信号;同时,HMBC 谱图中的 H-3、H-4、H-7 与 C-5 的相关信号证实了上述结构推 测。通过综合地分析 2D NMR 信息进一步确定化合 物的平面结构。化合物 1 的旋光度值接近于 0 且 CD 光谱无明显 Cotton 效应,提示其为外消旋体。经 HPLC-ECD 手性拆分后,获得比例为1:1的1对 对映体 1a 和 1b, 在甲醇溶剂中测试其比旋光度分 别为+32.4 和-33.1。二者的 CD 谱呈完全对称,其 Cotton 效应分别为 **1a**(+204, -216, +249)和 **1b**(-204, +216, -249)(图 3),结合 ECD 计算结果,分别确定其绝对构型为 (S)-**1a**(长春花碱 A)和(R)-**1b**(2,3,3a,5-tetrahydro-1H-benzo[d]pyrrolo [2,1-b] [1,3]oxazin-1-one)<sup>[7]</sup>。经 SciFinder 数据库检索,化合物 **1a** 为新化合物,命名为长春花碱 A。

表1 化合物1的<sup>1</sup>H- 和<sup>13</sup>C-NMR数据 (600/150 MHz, CD<sub>3</sub>OD)
Table 1 <sup>1</sup>H- and <sup>13</sup>C-NMR data for compound 1 (600/150 MHz, CD<sub>3</sub>OD)

碳位	$\delta_{ m H}$	$\delta_{ m C}$
2		174.4
3	2.62 (m)	30.9
4	2.53 (m), 2.01 (m)	25.7
5	5.36  (dd, J = 6.7, 5.4  Hz)	89.0
7	5.07  (d,  J = 15.2  Hz),  4.92  (d,  J = 15.2  Hz)	69.0
8		125.6
9	7.13 (overlapped)	125.7
10	7.13 (overlapped)	125.8
11	7.26 (m)	128.3
12	8.22 (d, J = 8.2 Hz)	120.3
13		135.3

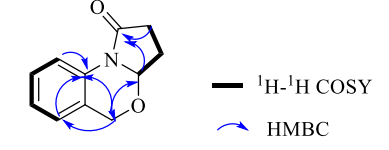


图 2 化合物 1 关键 <sup>1</sup>H-<sup>1</sup>H COSY 和 HMBC 相关 Fig. 2 Key <sup>1</sup>H-<sup>1</sup>H COSY and HMBC correlation of compound 1

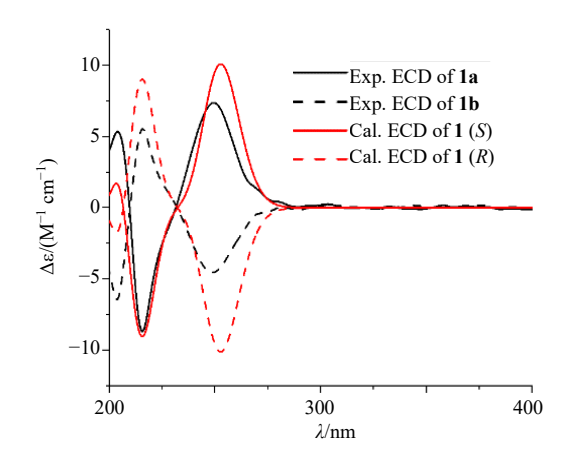


图 3 化合物 1a 和 1b 的实测和计算 ECD 图 Fig. 3 Experimental/calculated ECD spectra of compounds 1a and 1b

化合物 **2**: 黄色粉末,分子式为  $C_{12}H_8N_2O_2$ 。 <sup>1</sup>H-NMR (400 MHz, CD<sub>3</sub>OD)  $\delta$ : 8.48 (1H, d, J = 5.2 Hz, H-4), 8.45 (1H, d, J = 5.2 Hz, H-3), 8.32 (1H, d, J = 7.9 Hz, H-5), 7.84 (1H, d, J = 8.2 Hz, H-8), 7.63 (1H, t, J = 7.3 Hz, H-6), 7.32 (1H, t, J = 7.3 Hz, H-7); <sup>13</sup>C- NMR (150 MHz, CD<sub>3</sub>OD)  $\delta$ : 165.6 (C-10), 141.9 (C-1), 135.5 (C-8a), 135.4 (C-3), 131.5 (C-8b), 130.7 (C-5a), 129.3 (C-6), 122.0 (C-5), 120.1 (C-7), 119.9 (C-4a), 118.4 (C-4), 113.1 (C-8)。 以上数据与文献报道相一致[8], 故鉴定化合物 **2** 为  $\beta$ -carboline-1-carboxylic acid。

化合物 **4**: 淡黄色针晶(甲醇),分子式为  $C_{13}H_{10}N_2O_2$ 。 <sup>1</sup>H-NMR(400 MHz,CD<sub>3</sub>OD) $\delta$ : 8.43 (1H, d, J = 5.0 Hz, H-3), 8.34 (1H, d, J = 5.0 Hz, H-4), 8.24 (1H, d, J = 8.0 Hz, H-5), 7.73 (1H, d, J = 8.0 Hz, H-8), 7.62 (1H, t, J = 8.0 Hz, H-7), 7.33 (1H, t, J = 8.0 Hz, H-6), 4.12 (3H, s, OMe); <sup>13</sup>C-NMR(600 MHz, CD<sub>3</sub>OD) $\delta$ : 167.2 (C-10), 143.3 (C-1), 138.8 (C-3), 137.8 (C-8a), 133.6 (C-8b), 130.7 (C-5a), 130.5 (C-6), 122.8 (C-5), 121.7 (C-7), 121.7 (C-4a), 120.0 (C-4), 113.5 (C-8), 53.0 (CO<sub>2</sub>Me)。以上数据与文献报道一致[<sup>10]</sup>,故鉴定化合物 **4** 为  $\beta$ -carboline alkaloid。

化合物 **5**: 黄色晶体(甲醇),分子式为  $C_{14}H_{15}NO_{\circ}$  <sup>1</sup>H-NMR (600 MHz, CDCl<sub>3</sub>)  $\delta$ : 10.47 (1H, s, H-10), 8.36 (1H, d, J=7.2 Hz, H-4), 7.36 (1H, dd, J=7.2, 1.3 Hz, H-7), 7.28 (1H, dd, J=7.2, 1.3 Hz, H-5), 7.25 (1H, m, H-6), 6.23 (1H, dd, J=17.5, 11.0 Hz, H-12a), 5.31 (1H, d, J=17.5 Hz, H-13b), 5.28 (1H, d, J=11.0 Hz, H-13a), 1.68 (6H, s, H-14, 15); <sup>13</sup>C-NMR (150 MHz, CDCl<sub>3</sub>)  $\delta$ : 186.6 (C-10), 154.7 (C-2), 145.0 (C-12), 133.8 (C-8), 127.4 (C-9), 123.7 (C-6), 123.2 (C-5), 122.2 (C-4), 114.3 (C-13), 114.1 (C-3), 110.9 (C-

7), 39.9 (C-11), 29.0 (C-14, 15)。以上数据与文献报道一致<sup>[11]</sup>, 故鉴定化合物 **5** 为 2-(2-methyl-3-en-2-yl)-1*H*-indole-3-carbaldehyde。

## 3.2 抗肿瘤活性

本研究采用 CCK-8 法对所得生物碱(1a/1b~ 5)在 7 种肿瘤细胞株上的细胞毒活性进行了评价,并以依托泊苷作为阳性对照。结果显示,化合物 1b 对 T24 细胞表现出中等的抑制作用[( $38.24\pm0.64$ ) $\mu mol/L$ ]。而依托泊苷在 T24 细胞中的 IC50 值为( $14.76\pm0.78$ ) $\mu mol/L$ 。其余化合物在所测试的细胞株中均未显示活性( $IC_{50}>50$   $\mu mol/L$ )。

#### 4 讨论

从长春花干燥全草的 95%乙醇提取物中分离得到 6 个生物碱 (1a/1b~5), 其中化合物 1a 为新化合物。对所有化合物进行体外抗肿瘤活性评价,结果显示化合物 1b 表现出一定抑制作用。本研究不仅丰富了长春花的化学成分研究,也为其药效物质基础及进一步的药理研究提供了理论支持。

利益冲突 所有作者均声明不存在利益冲突

#### 参考文献

- [1] 杨莹莹, 张广晶, 徐雅娟, 等. 长春花化学成分研究进展 [J]. 世界中医药, 2014, 9(7): 955-957.
- [2] Jamal Q M S, Ahmad V. Identification of metabolites from *Catharanthus roseus* leaves and stem extract, and *in vitro* and in silico antibacterial activity against food pathogens [J]. *Pharmaceuticals*, 2024, 17(4): 450.
- [3] Hirasawa Y, Kase A, Okamoto A, et al. Vincazalidine A, a unique bisindole alkaloid from Catharanthus roseus [J]. J Nat Med, 2024, 78(2): 382-392.
- [4] Gigant B, Wang C G, Ravelli R B G, *et al.* Structural basis for the regulation of tubulin by vinblastine [J]. *Nature*, 2005, 435(7041): 519-522.
- [5] 张思祺, 徐思怡, 林小伟, 等. 长春花生物碱药理活性及机制研究进展 [J]. 中草药, 2025, 56(12): 4490-4498.
- [6] Ariantari N P, Daletos G, Mándi A, et al. Expanding the chemical diversity of an endophytic fungus Bulgaria inquinans, an ascomycete associated with mistletoe, through an OSMAC approach [J]. RSC Adv, 2019, 9(43): 25119-25132.
- [7] Zhang Z Q, Wang H C, Kuang Z, et al. From tea to health: Exploring Abrus mollis for liver protection and unraveling its potential mechanisms [J]. J Agric Food Chem, 2023, 71(41): 15145-15155.

- [8] Wang N, Li Z Y, Zheng X L, et al. Quality assessment of Kumu injection, a traditional Chinese medicine preparation, using HPLC combined with chemometric methods and qualitative and quantitative analysis of multiple alkaloids by single marker [J]. *Molecules*, 2018, 23(4): 856.
- [9] Lee D S, Eom S H, Jeong S Y, et al. Anti-methicillinresistant *Staphylococcus aureus* (MRSA) substance from the marine bacterium *Pseudomonas* sp. UJ-6 [J]. *Environ*

- Toxicol Pharmacol, 2013, 35(2): 171-177.
- [10] Alatavica, Kehrimen N, Rozimamat R, *et al.* Chemical constituents from the dregs of *Euphorbia*[J]. *Chin Tradit Patent Med*, 2018, 40: 1113-1115.
- [11] May Zin W W, Buttachon S, Dethoup T, *et al.*Antibacterial and antibiofilm activities of the metabolites isolated from the culture of the mangrove-derived endophytic fungus *Eurotium chevalieri* KUFA 0006 [J]. *Phytochemistry*, 2017, 141: 86-97.

[责任编辑 王文倩]